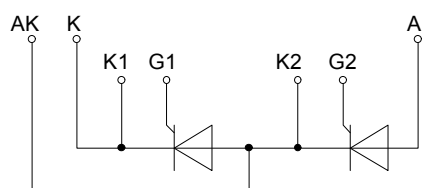
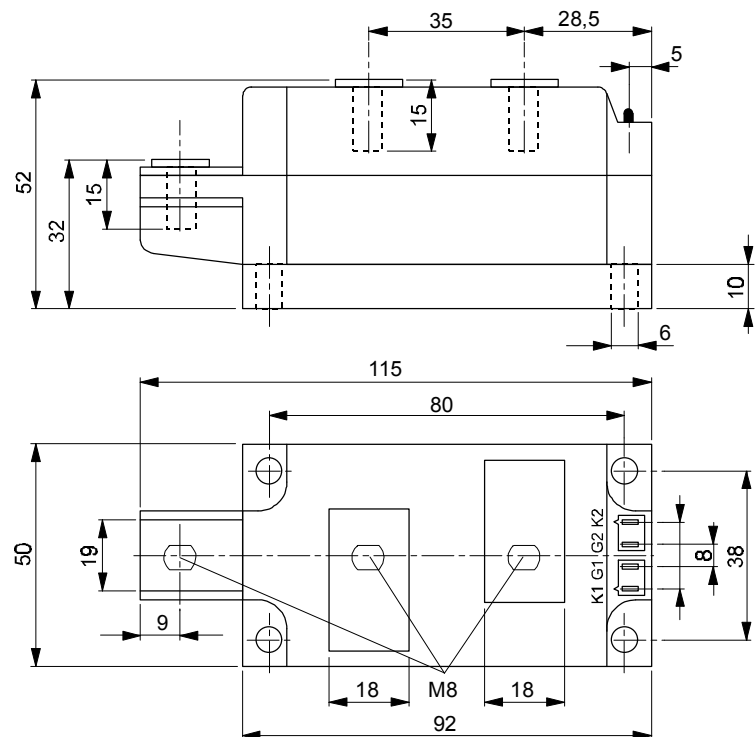


European Power-
Semiconductor and
Electronics Company
GmbH + Co. KG

Marketing Information TT 265 N



TT 265 N, TD 265 N, DT 265 N

Elektrische Eigenschaften		Electrical properties				
Höchstzulässige Werte						
Periodische Vorwärts- und Rückwärts-Spitzenperrspannung	repetitive peak forward off-state and reverse voltages	$t_{vj} = -40^\circ\text{C} \dots t_{vj\ max}$	V_{DRM}, V_{RRM}	200 400 600		V
Vorwärts-Stoßspitzenperrspannung	non-repetitive peak forward off-state voltage	$t_{vj} = -40^\circ\text{C} \dots t_{vj\ max}$	$V_{DSM} = V_{DRM}$			V
Rückwärts-Stoßspitzenperrspannung	non-repetitive peak reverse voltage	$t_{vj} = +25^\circ\text{C} \dots t_{vj\ max}$	$V_{RSM} = V_{RRM}$	+ 100		V
Durchlaßstrom-Grenzeffektivwert	RMS on-state current		I_{TRMSM}	450	A	
Dauergrenzstrom	average on-state current	$t_c = 85^\circ\text{C}$ $t_c = 79^\circ\text{C}$	I_{TAVM}	265	A	
		$t_{vj} = 25^\circ\text{C}, t_p = 10\text{ ms}$ $t_{vj} = t_{vj\ max}, t_p = 10\text{ ms}$		286	A	
Stoßstrom-Grenzwert	surge current	$t_{vj} = 25^\circ\text{C}, t_p = 10\text{ ms}$ $t_{vj} = t_{vj\ max}, t_p = 10\text{ ms}$	I_{TSM}	6300	A	
Grenzlastintegral	$\int i^2 t$ -value	$t_{vj} = 25^\circ\text{C}, t_p = 10\text{ ms}$ $t_{vj} = t_{vj\ max}, t_p = 10\text{ ms}$	$\int i^2 dt$	198000	A^2s	
Kritische Stromteilheit	current	$v_D \leq 67\%$, $V_{DRM}, f_0 = 50\text{ Hz}$	$(di/dt)_{cr}$	151000	A^2s	
Kritische Spannungsteilheit	voltage	$v_L = 10\text{V}, i_{GM} = 0,6\text{A}, di_G/dt = 0,6\text{ A}/\mu\text{s}$ $t_{vj} = t_{vj\ max}, v_D = 0,67 V_{DRM}$	$(dv/dt)_{cr}$	200	$\text{A}/\mu\text{s}$	
Charakteristische Werte		Characteristic values				
Durchlaßspannung	on-state voltage	$t_{vj} = t_{vj\ max}, i_T = 800\text{ A}$	v_T	max.1,4	V	
Schleusenspannung	threshold voltage	$t_{vj} = t_{vj\ max}$	$V_{T(TO)}$	0,8	V	
Ersatzwiderstand	slope resistance	$t_{vj} = t_{vj\ max}$	r_T	0,65	$\text{m}\Omega$	
Zündstrom	gate trigger current	$t_{vj} = 25^\circ\text{C}, v_D = 6\text{ V}$	I_{GT}	max. 150	mA	
Zündspannung	gate trigger voltage	$t_{vj} = 25^\circ\text{C}, v_D = 6\text{ V}$	V_{GT}	max.1,4	V	
Nicht zündender Steuerstrom	gate non-trigger current	$t_{vj} = t_{vj\ max}, v_D = 6\text{ V}$	I_{GD}	max.5	mA	
Nicht zündende Steuerspannung	gate non-trigger voltage	$t_{vj} = t_{vj\ max}, v_D = 0,5 V_{DRM}$	V_{GD}	max.0,2	V	
Haltestrom	holding current	$t_{vj} = 25^\circ\text{C}, v_D = 6\text{ V}, R_A = 5\ \Omega$	I_H	max. 200	mA	
Einraststrom	latching current	$t_{vj} = 25^\circ\text{C}, v_D = 6\text{ V}, R_{GK} >= 10\ \Omega$	I_L	max.620	mA	
Vorwärts- und Rückwärts-Sperrstrom	forward off-state and reverse currents	$i_{GM} = 0,6\text{ A}, di_G/dt = 0,6\text{ A}/\mu\text{s}, t_g = 20\text{ }\mu\text{s}$ $t_{vj} = t_{vj\ max}, v_D = V_{DRM}, v_R = V_{RRM}$	i_D, i_R	max. 30	mA	
Zündverzug	gate controlled delay time	$t_{vj}=25^\circ\text{C}, i_{GM} = 0,6\text{ A}, di_G/dt = 0,6\text{ A}/\mu\text{s}$ siehe Techn.Er./see Techn.Inf.	t_{gd}	max. 3	μs	
Freiwerdezeit	circuit commutated turn-off time		t_q	typ.200	μs	
Isolations-Prüfspannung	insulation test voltage		V_{ISOL}	3	kV	
Thermische Eigenschaften		Thermal properties				
Innerer Wärmewiderstand	thermal resistance, junction to case	$\Theta = 180^\circ\text{el,sinus: pro Modul/per module}$ DC: $\quad\quad\quad$ pro Zweig/per arm pro Modul/per module pro Zweig/per arm	R_{thJC}	max.0,085	$^\circ\text{C/W}$	
				max.0,170	$^\circ\text{C/W}$	
				max.0,082	$^\circ\text{C/W}$	
				max.0,164	$^\circ\text{C/W}$	
Übergangs-Wärmewiderstand	heatsink	pro Modul/per module pro Zweig/per arm	R_{thCK}	max.0,02	$^\circ\text{C/W}$	
				max.0,04	$^\circ\text{C/W}$	
Höchstzul.Sperrschiichttemperatur	max. junction temperature	$t_{vj\ max}$		140	°C	
Betriebstemperatur	operating temperature	$t_{c\ op}$		-40...+140	°C	
Lagertemperatur	storage temperature	t_{slg}		-40...+140	°C	
Mechanische Eigenschaften		Mechanical properties				
Gehäuse, siehe Seite	case, see page					1
Si-Elemente mit Druckkontakt	Si-pellet with pressure contact					
Innere Isolation	internal insulation					
Anzugsdrehmoment für mechanische Befestigung	mounting torque	Toleranz/tolerance +/- 15%	M1			AIN 6 Nm
Anzugsdrehmoment für elektrische Anschlüsse	terminal connection torque	Toleranz/tolerance +5%/-10%	M2			12 Nm
Gewicht	weight		G			typ.800 g
Kriechstrecke	creepage distance					17 mm
Schwingfestigkeit	vibration resistance	f = 50 Hz				5 . 9,81 m/s²

Diese Module können auch mit gemeinsamer Anode oder gemeinsamer Kathode geliefert werden.

These modules can also be supplied with common anode or common cathode.

Recognized by UNDERWRITERS LABORATORIES INC.

TT 265 N

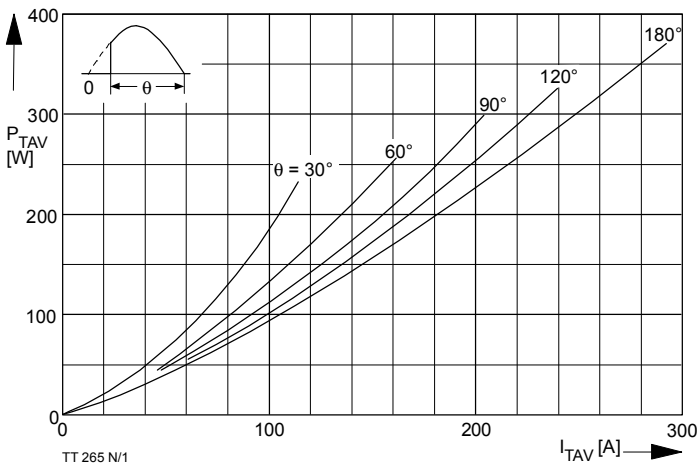


Bild / Fig. 1

Durchlaßverlustleistung je Zweig / On-state power loss per arm
 $P_{TAV} = f(I_{TAV})$
 Parameter: Stromflußwinkel / current conduction angle θ

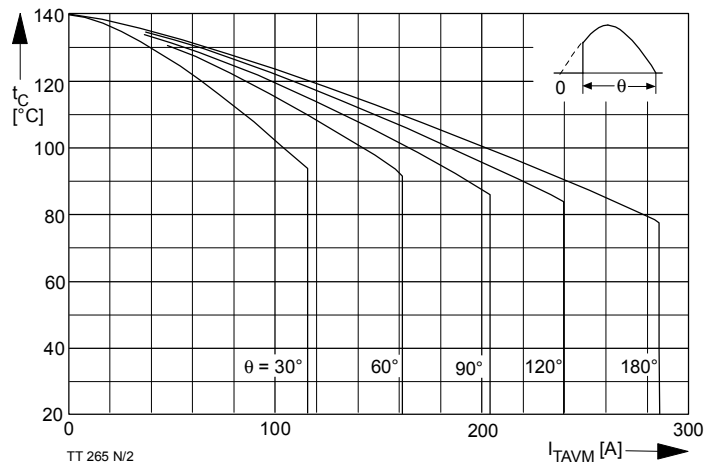


Bild / Fig. 2

Höchstzulässige Gehäusetemperatur / Maximum allowable case temperature
 $t_C = f(I_{TAVM})$
 Strombelastung je Zweig / current load per arm
 Parameter: Stromflußwinkel / current conduction angle θ

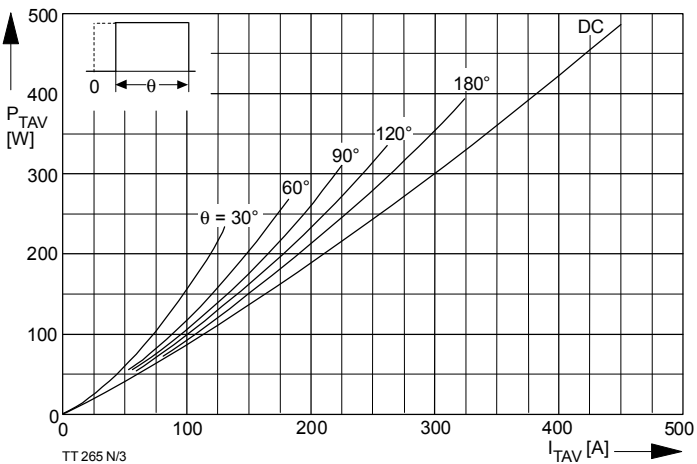


Bild / Fig. 3

Durchlaßverlustleistung je Zweig / On-state power loss per arm
 $P_{TAV} = f(I_{TAV})$
 Parameter: Stromflußwinkel / current conduction angle θ

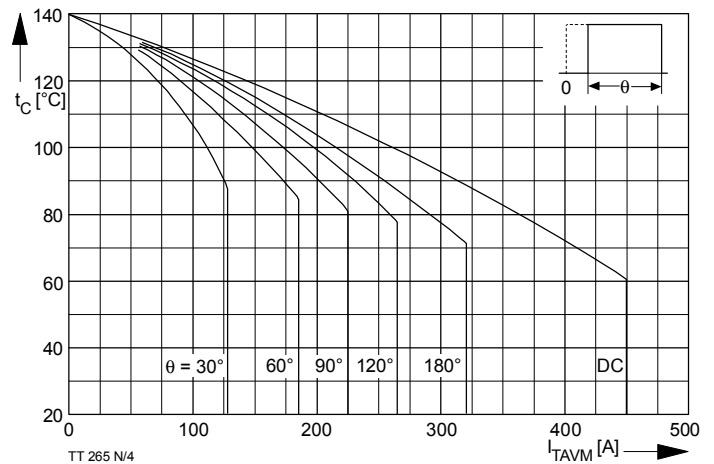


Bild / Fig. 4

Höchstzulässige Gehäusetemperatur / Maximum allowable case temperature
 $t_C = f(I_{TAVM})$
 Strombelastung je Zweig / current load per arm
 Parameter: Stromflußwinkel / current conduction angle θ

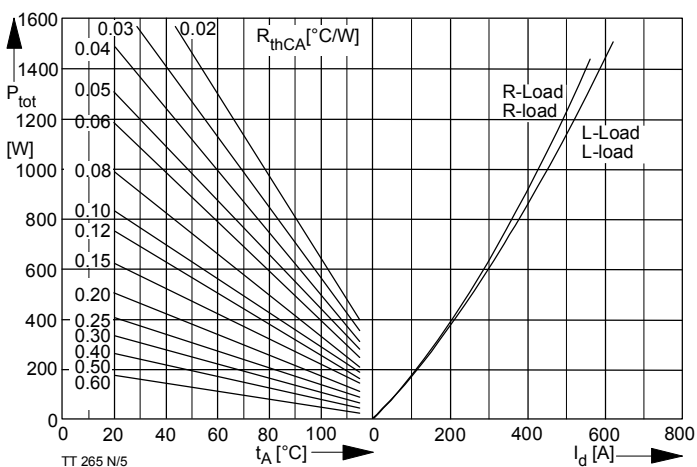


Bild / Fig. 5

B2 - Zweipuls-Brückenschaltung / Two-pulse bridge circuit
 Höchstzulässiger Ausgangsstrom / Maximum rated output current I_d
 Gesamtverlustleist. der Schaltung / total power dissip. of the circuit P_{tot}
 Parameter: Wärmewiderstand zwischen Gehäuse und Umgebung / thermal resistance case to ambient R_{thCA}

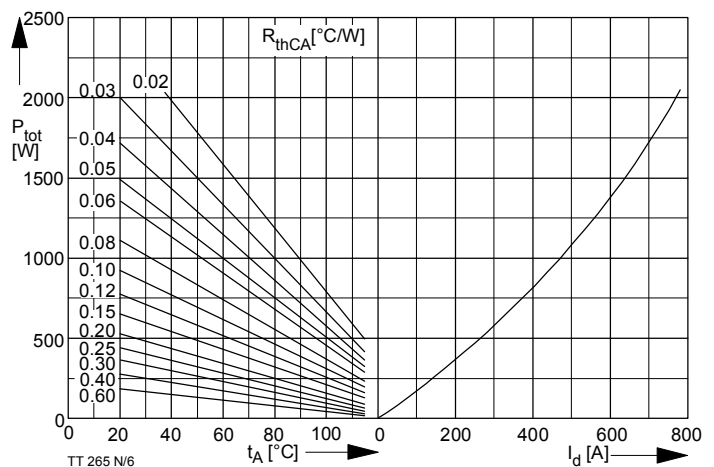


Bild / Fig. 6

B6 - Sechspuls-Brückenschaltung / Six-pulse bridge circuit
 Höchstzulässiger Ausgangsstrom / Maximum rated output current I_d
 Gesamtverlustleist. der Schaltung / Total power dissip. of the circuit P_{tot}
 Parameter: Wärmewiderstand zwischen Gehäuse und Umgebung / thermal resistance case to ambient R_{thCA}

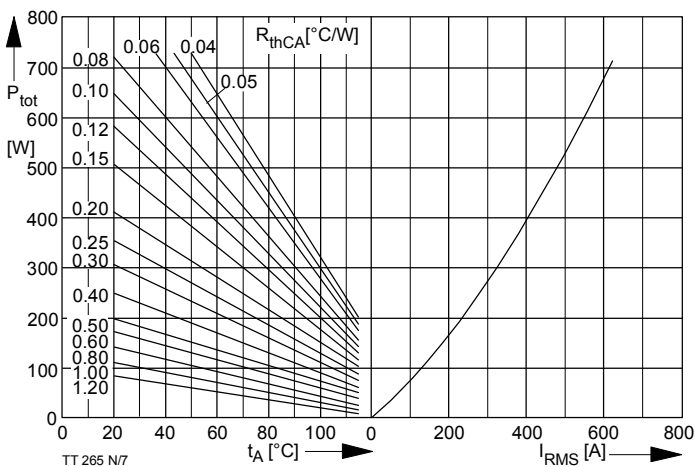


Bild / Fig. 5

B2 - Zweipuls-Brückenschaltung / Two-pulse bridge circuit

Höchstzulässiger Ausgangsstrom / Maximum rated output current I_d
 Gesamtverlustleist. der Schaltung / total power dissip. of the circuit P_{tot}
 Parameter: Wärmewiderstand zwischen Gehäuse und Umgebung /
 thermal resistance case to ambient R_{thCA}

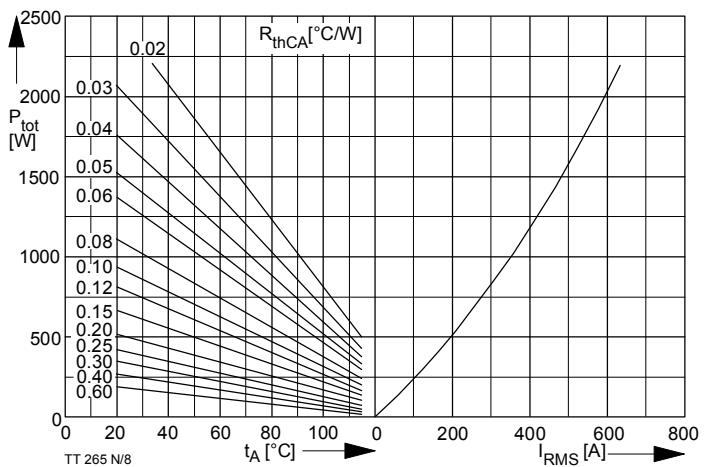


Bild / Fig. 6

B6 - Sechspuls-Brückenschaltung / Six-pulse bridge circuit

Höchstzulässiger Ausgangsstrom / Maximum rated output current I_d
 Gesamtverlustleist. der Schaltung / Total power dissip. of the circuit P_{tot}
 Parameter: Wärmewiderstand zwischen Gehäuse und Umgebung /
 thermal resistance case to ambient R_{thCA}

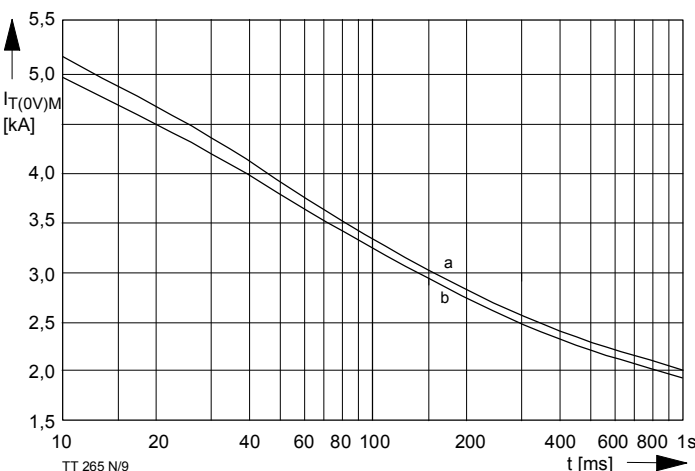


Bild / Fig. 9

Grenzstrom je Zweig $I_{T(0V)M}$: Belastung aus Leerlauf, $V_{RM} = 0,8 V_{RRM}$
 Maximum overload on-state current per arm $I_{T(0V)M}$: Surge current under
 no-load conditions, $V_R = 0,8 V_{RRM}$

a - $t_A = 35^{\circ}\text{C}$, verstärkte Luftkühlung / forced cooling
 b - $t_A = 45^{\circ}\text{C}$, Luftseltbstkühlung / natural cooling

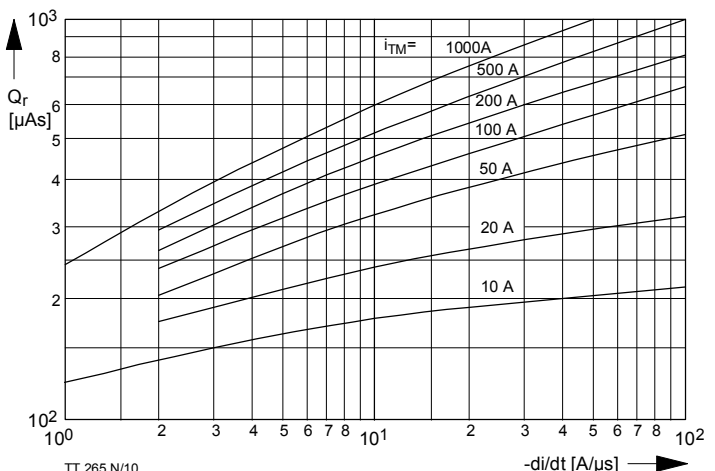


Bild / Fig. 10

Sperrverzögerungsladung / Recovery charge $Q_r = f(-di/dt)$
 $t_{vj} = t_{vj\max}$, $V_R \leq 0,5 V_{RRM}$, $V_{RM} = 0,8 V_{RRM}$
 Parameter: Durchlaßstrom / On-state current i_{TM}

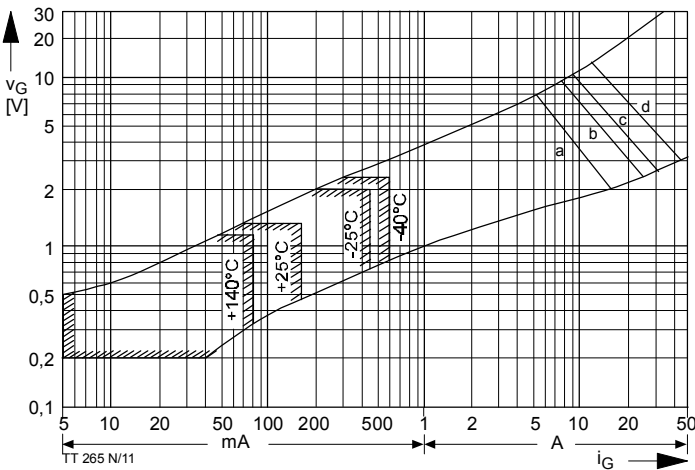


Bild / Fig. 11

Steuercharakteristik mit Zündbereichen / Gate characteristic with triggering areas, $v_G = f(i_G)$, $v_D = 6 \text{ V}$

Parameter: a b c d
 Steuerimpulsdauer / Pulse duration t_g [ms] 10 1 0,5 0,1

Höchstzulässige Spitzesteuerleistung/
 Maximum allowable peak gate power [W] 40 80 100 150

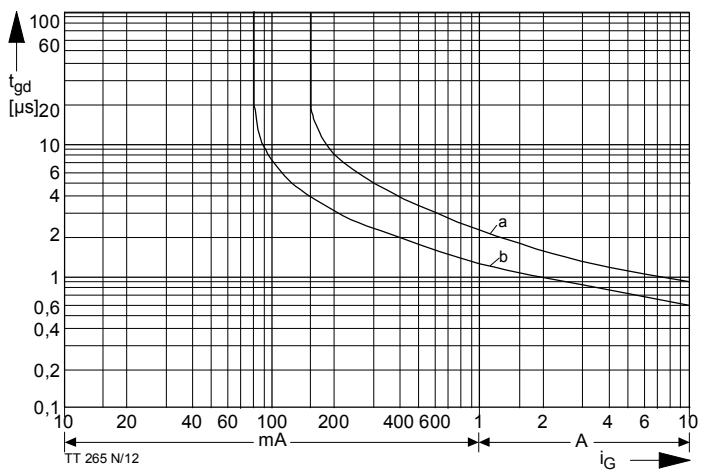


Bild / Fig. 12

Zündverzug / Gate controlled delay time $t_{gd} = f(i_G)$
 $t_{vj} = 25^{\circ}\text{C}$, $di_G/dt = i_{GM}/1\mu\text{s}$
 a - äußerster Verlauf / limiting characteristic
 b - typischer Verlauf / typical characteristic

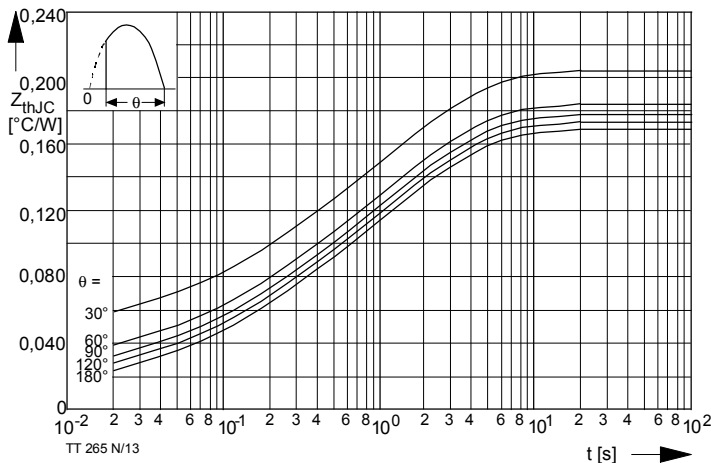


Bild / Fig. 13

Transienter innerer Wärmewiderstand je Zweig / Transient thermal impedance per arm $Z_{(th)JC} = f(t)$
Parameter: Stromflußwinkel / current conduction angle θ

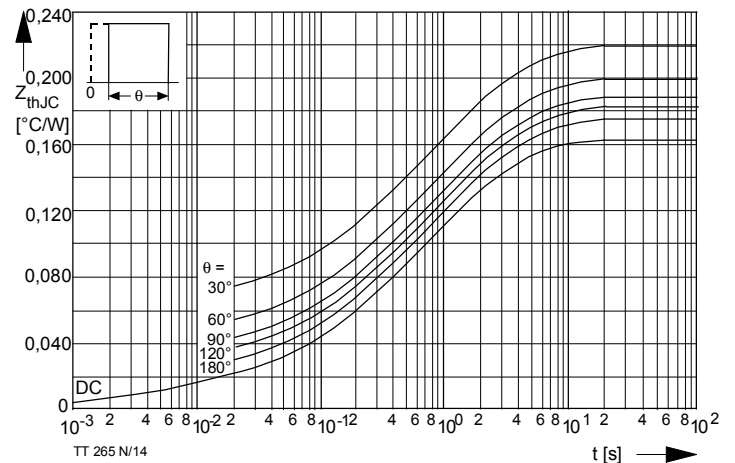


Bild / Fig. 14

Transienter innerer Wärmewiderstand je Zweig / Transient thermal impedance per arm $Z_{(th)JC} = f(t)$
Parameter: Stromflußwinkel / current conduction angle θ

Analytische Elemente des transienten Wärmewiderstandes Z_{thJC} pro Zweig für DC
Analytical elements of transient thermal impedance Z_{thJC} per arm for DC

Pos. n	1	2	3	4	5	6	7
R_{thn} [$^{\circ}\text{C}/\text{W}$]	0,0039	0,0097	0,0291	0,0552	0,0661		
τ_n [s]	0,0008	0,008	0,085	0,54	2,85		

Analytische Funktion / Analytical function:

$$Z_{thJC} = \sum_{n=1}^{n_{\max}} R_{thn} \left(1 - e^{-\frac{t}{\tau_n}}\right)$$